

(567) $2\frac{1}{4}\text{Cr}-1\text{Mo}$ 鋼の炭化物の形態および分布と材質特性

川崎製鉄(株) 鉄鋼研究所 ○下村順一 杉江英司
水島研究部 上田修三

1. 緒言：石油精製工場における重油脱硫装置等の操業条件は、高温、高水素圧化のすう勢にあり、それに使用される $2\frac{1}{4}\text{Cr}$ 、 $3\text{Cr}-1\text{Mo}$ 鋼は現行材料よりも格段にクリープ特性、耐水素侵食特性等に優れていることが要求される。上記特性の向上には V, Nb, Ti, B 等の合金元素の添加が有効であることが明らかとなってきたが、そのメカニズムはまだ十分に理解されていない。 $2\frac{1}{4}\text{Cr}-1\text{Mo}$ 鋼に合金元素を添加した場合の炭化物の形態等を調べ、材料特性との関係を考察した。

2. 実験方法：低 N, 低 S の通常の $2\frac{1}{4}\text{Cr}-1\text{Mo}$ 鋼、および $0.3\text{V}-0.02\text{Nb}-0.004\text{REM}$ 添加鋼、 $0.3\text{V}-0.02\text{Nb}-0.01\text{Ti}-0.002\text{B}-0.004\text{REM}$ 鋼を 100kg 真空溶解炉で溶製後 20mm に熱間圧延した。これを 950°C に加熱、焼入れ ($800-400^\circ\text{C}$ の平均冷却速度: $15^\circ\text{C}/\text{min}$ 、肉厚 300mm 板中心部の水冷時の冷却速度相当) 後主として 690°C で 24.5h の PWHT を行い、引張特性、衝撃特性、クリープ特性、耐水素侵食特性を調べた。またカーボン抽出レプリカ試料を作成し、X線分析装置を具備した透過電子顕微鏡により鋼中の炭化物の形態、析出密度、組成を測定し、電解抽出残渣からの X 線回折図形から炭化物の結晶構造を決定し、材質特性との関連を調べた。

3. 実験結果：(1) 600°C 、 500kgf/cm^2 の水素暴露により各鋼ともに νTr_{S} が上昇し $\nu\text{E}_{\text{shelf}}$ が低下するが、とくに後者の変化が著しい。V の添加、さらに微量の Ti, B の添加により耐水素侵食性が向上する (Fig. 1)。(2) クリープ破断強度の向上には V の添加が効果的であるが、Ti, B 添加の効果は少い (Fig. 2)。(3) 通常の $2\frac{1}{4}\text{Cr}-1\text{Mo}$ 鋼においては Mo, Cr を含む針状の $M_2\text{C}$ 型炭化物が粒内に析出し、粒界付近には

denuded zone が存在するが、V 添加材においては V, Mo を主成分とする微細な $V_6\text{C}$ あるいは $V_8\text{C}_7$ 炭化物が粒内及び粒界付近に密に析出している。その他材質特性と炭化物の析出状態、N, S 量との関連についても考察する。

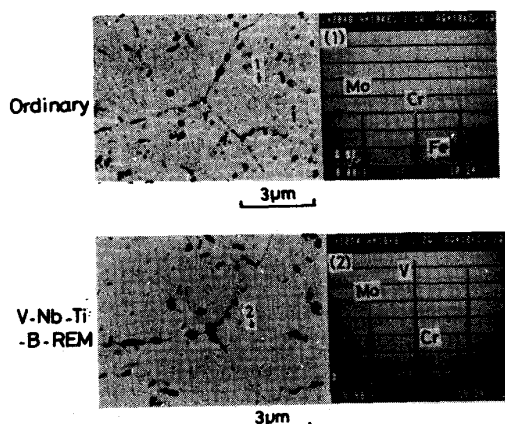


Photo.1 Morphology and composition of carbides.

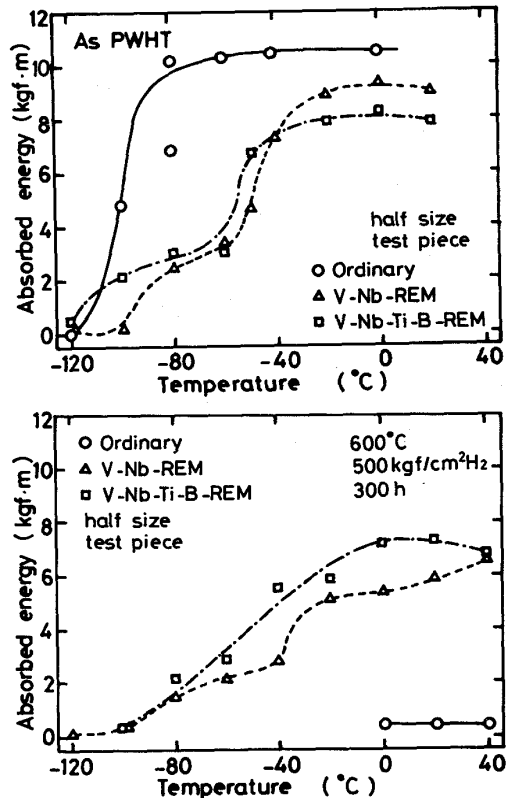


Fig.1 Charpy impact transition curves before (above) and after (below) exposure to hydrogen.

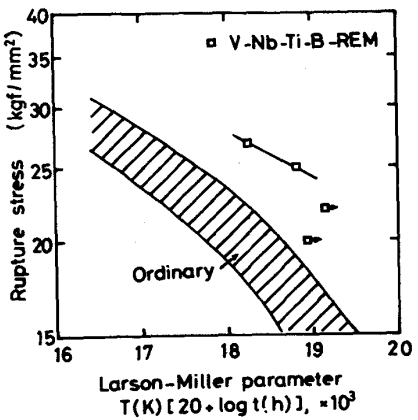


Fig.2 Relation between creep rupture stress and Larson-Miller parameter.